

## شبیه‌سازی اجزای محدود فرآیند آهنگری پلوس پراید به روش اویلری - لاگرانژی اختیاری، جهت بهبود فرآیند تولید و قالب‌ها

محمد رضا صیدی<sup>۱</sup>، محسن لوح موسوی<sup>۲</sup>

Mrezaseidy@yahoo.com

پذیرش مقاله: ۸۹/۰۵/۱۶

دریافت مقاله: ۸۹/۰۲/۱۲

### چکیده

یکی از مهمترین قطعات سیستم انتقال قدرت در خوروهای امروزی، مجموعه پلوس است که وظیفه آن، انتقال گشتاور و سرعت دورانی خروجی از گیربکس به چرخ‌ها با نسبت ثابت است. مجموعه پلوس از چهار قطعه تشکیل شده که یکی از آنها کاسه خارجی است. به علت پیچیده بودن قطعه و با توجه به اهمیت آن در خودرو و وجود تنش‌های بالا، تنها راه مقرنون به صرفه تولید آن، فرآیند آهنگری می‌باشد. شکل ظاهری قطعه، حداقل دو مرحله آهنگری را برای تولید مطرح می‌سازد. ابتدا شکل‌گیری قسمت دسته توسط اکستروژن مستقیم و سپس قسمت کاسه توسط اکستروژن معکوس. در این تحقیق فرآیندهای اکستروژن مستقیم و معکوس داغ پلوس پراید همراه با پیش گرم و با در نظر گرفتن اتلاف دما تا لحظه اعمال ضربه سنبه، به روش اجزای محدود شبیه‌سازی شده است. قالب‌ها جهت دما و تنش به صورت توپر و الاستیک در نظر گرفته شده‌اند. نمودار نیروی لازم در طول فرآیند براساس جابه‌جایی سنبه و سایر نتایج مربوطه، در انتهای مورد بحث قرار گرفته‌اند. جهت معتبرسازی، نتایج عددی حاصل، با نتایج حل تئوری مقایسه شده‌اند بطوریکه نتایج این مقایسه از همخوانی خوبی برخوردار است.

### کلیدواژه:

آهنگری داغ - پلوس - روش اجزای محدود - اکستروژن مستقیم - اکستروژن معکوس

۱- کارشناس ارشد، دانشکده مهندسی مکانیک، دانشگاه آزاد اسلامی واحد خمینی شهر

2- استادیار، دانشکده مهندسی مکانیک، دانشگاه آزاد اسلامی واحد خمینی شهر، [loh-mousavi@iaukhsh.ac.ir](mailto:loh-mousavi@iaukhsh.ac.ir)

## ۱- مقدمه

امروزه صنعت خودرو در جهان پیشرفت زیادی داشته و تأمین قطعات، یکی از بخش‌های مهم این صنعت است. یکی از این قطعات، که در سیستم انتقال قدرت خودرو استفاده می‌شود مجموعه پلوس (C.V. Joint) است [۱]. این مجموعه شامل چهار جزء است (شکل (۱)). یکی از این اجزاء، کاسه خارجی (Outer Socket) است. با توجه به وظیفه حساس این قطعه و اعمال تنفس‌های بالا به آن [۲]، تنها راه تولید مقرر به صرفه، آهنگری آن است. قطعه خام استوانه‌ای شکل، پس از اکستروژن مستقیم داغ (Hot Forward Extrusion) قسمت دسته را بوجود می‌آورد و پس از آن طی یک مرحله اکستروژن معکوس (Hot Backward Extrusion) قسمت کاسه قطعه، شکل می‌گیرد.

در سال‌های اخیر توجه خاصی به استفاده از کامپیووتر در مهندسی (CAE)، و حل عددی توسط آن، برای پیش‌بینی رفتار مواد در شکل‌دهی و طراحی قالب‌های آهنگری شده است. یکی از روش‌های حل عددی فرآیندهای شکل‌دهی، روش حجم محدود است که در آن مدلسازی در فضای اویلری صورت می‌گیرد و نتایج خوبی از این روش، در شبیه‌سازی فرآیندها از جمله اکستروژن داغ گرفته شده است. به عنوان نمونه می‌توان به کار قبلی یکی از نویسندهای کان مقاله اشاره کرد [۳]. روش دیگر، روش اجزای محدود (FEM) است که بیشتر بر مبنای مدلسازی لاغرانژی انجام می‌شود. توسط این روش، آهنگری چند مرحله‌ای قطعات پیچیده [۴]، تحلیل مراحل آهنگری [۵] و شبیه‌سازی فرآیندهای شکل‌دهی به خصوص آهنگری و اکستروژن [۶ و ۷] [۱۲] انجام گرفته است هر چند به دلیل اعوجاج زیاد المان‌ها تحلیل فرآیندهای آهنگری چند مرحله‌ای بسیار وقتگیر و مشکل است. با توجه به تحقیقات انجام شده و پاسخ‌های مناسب گرفته شده، مقرر گردید مراحل آهنگری پلوس پراید جهت بهینه‌سازی مراحل ساخت و قالب‌ها مورد بررسی قرار گیرد.

در این تحقیق دو مرحله اکستروژن و پیش گرم‌های قبل از آن، به منظور بدست آوردن دمای واقعی قطعه در هنگام شروع شکل‌گیری، به روش اجزای محدود شبیه‌سازی شده است. قالب‌ها به صورت توپر و الاستیک فرض شده تا بتوان تنش‌ها و تأثیرات دمایی در آنها را بررسی نمود. شبیه‌سازی در نرم‌افزار ABAQUS و به کمک حل اویلری لاغرانژی اختیاری (ALE) انجام گرفته است. نتایج شامل نیروهای لازم جهت شکل‌گیری، دما و تنش در قطعه و قالب‌ها پس از شکل‌گیری، بدست آمده است. به منظور بررسی اعتبار نتایج شبیه‌سازی، نتایج بدست آمده با نتایج تحلیل تئوری مقایسه گردیده است.

## ۲- مراحل آهنگری

قطعه باید در دو مرحله به صورت داغ آهنگری گردد، بنابراین در کوره به دمای  $1000^{\circ}\text{C}$  رسیده و در کمترین زمان ممکن در قالب شکل می‌گیرد. فرض شده است که زمان انتقال از کوره به قالب  $10^{\circ}\text{C}/\text{min}$  و تأخیر ضربه سننه  $5$  ثانیه باشد و قالب‌ها تا دمای  $300^{\circ}\text{C}$  پیش گرم شوند. در زمان انتقال قطعه تا لحظه اعمال ضربه سننه، قطعه با هوای  $20^{\circ}\text{C}$  انتقال حرارت جابه‌جاگی دارد. هنگامی که قطعه در قالب قرار می‌گیرد، مقداری از حرارت به طور هدایتی به قالب منتقل می‌شود. ضرایب انتقال حرارت جابه‌جاگی با هوای انتقال حرارت هدایتی با آزمایش‌های انجام شده در مرجع [۶] به ترتیب  $6000\text{ Wat/m}^2\text{K}$  و  $6000\text{ Wat/m}^2\text{K}$  معرفی شده است. پرس از نوع هیدرولیکی و سرعت سننه به طور ثابت و برابر  $0.3\text{ m/s}$  بر ثانیه در نظر گرفته شده است. مدل اصطکاکی به صورت کولمبی و با توجه به مرجع [۸] ضریب اصطکاک،  $0.3$  در نظر گرفته می‌شود.

## ۳- طراحی قالب‌ها

در ابتدا قطعه آهنگری، طراحی شده که در شکل (۲) به همراه قطعه ماشینکاری نهایی نشان داده شده است. قالب اکستروژن مستقیم به گونه‌ای طراحی می‌شود که قسمت دسته به طور کامل شکل بگیرد. سننه در این مرحله به طور ساده در نظر گرفته می‌شود تا قطعه در قسمت بالا تغییر شکل زیادی نداشته باشد. قالب مرحله اکستروژن معکوس به گونه‌ای طراحی می‌شود که در قسمت دسته تغییر شکل زیادی نداشته باشد و فقط قسمت کاسه توسط جریان معکوس مواد، بین سننه و ماتریس شکل بگیرد. جنس قالب‌ها DIN 1.2714 DIN 1.1191 یا CK45 است. مراحل شبیه‌سازی به صورت کوپل انتقال حرارت و جابه‌جاگی در نظر گرفته شده است و خواص جنس فوق بر حسب دما برای نرم‌افزار تعریف شود. از کتابخانه نرم‌افزار Super Forge خواص، استخراج گردیده و به صورت نمودارهایی در

## ۴- قطعه خام اویلری

قطعه نهایی در قسمت شیار ساقمه و هزار خاری سختکاری سطحی القایی می‌گردد، بنابراین مناسبترین جنس که هم خواص آهنگری خوب و هم خوش تراش باشد و سختی بالا بپذیرد، DIN 1.1191 یا CK45 است. مراحل شبیه‌سازی به صورت کوپل انتقال حرارت و جابه‌جاگی در نظر گرفته شده است و خواص جنس فوق بر حسب دما برای نرم‌افزار تعریف شود. از کتابخانه نرم‌افزار Super Forge خواص، استخراج گردیده و به صورت نمودارهایی در

که در آن،  $R$  نسبت تغییرشکل یا همان  $\frac{A_0}{A_f}$  است. با توجه به رابطه فوق و پارامترهای مندرج در شکل (۸) نرخ کرنش بهصورت زیر محاسبه می‌شود:

$$\mu = 28.9$$

براساس این مقدار و به کمک نمودار تنش-کرنش مربوط به دمای  $1000^{\circ}\text{C}$  (شکل (۷))، میزان  $\sigma_0$  حدوداً  $200\text{ MPa}$  در بدست آید. با توجه به معادله زیر، برای فاکتور اصطکاک داریم:

$$\mu = \frac{m}{1 + 0.5\pi + \cos^{-1}(m) + \sqrt{1 - m^2}} \quad (4)$$

$$\mu = 0.3 \Rightarrow m = 0.95$$

با قراردادن مقادیر با توجه به شکل (۸) و رابطه (۲) برای  $p_d$  داریم:

$$\Rightarrow p_d = 1349.2 \times 10^6 \text{ N/m}^2$$

حال برای قسمت دوم معادله با در نظر گرفتن  $\tau_i = \frac{\sigma_0}{\sqrt{3}}$  و با توجه به پارامترهای نشان داده شده در شکل (۸)، از رابطه (۱) مقدار  $p_e$  مطابق زیر بدست می‌آید:

$$p_e = 1795.8 \times 10^6 \text{ N/m}^2$$

حال با استفاده از معادله  $F = p_e A$  و قرار دادن سطح مقطع بالای قطعه بهعنوان  $A$ ، برای نیروی لازم جهت تغییر شکل داریم:

$$F = 5.08 \times 10^6 \text{ N}$$

برای بدست آوردن نیروی لازم در اکستروژن معکوس، از رابطه (۱) استفاده می‌شود، با این تفاوت که قسمت دوم، که مربوط به تأثیر اصطکاک بین قطعه و محفظه قالب است، حذف می‌شود. بنابراین رابطه بهصورت  $p_e = p_d$  در خواهد آمد. با قراردادن پارامترهای شکل‌های (۸) و (۹) در رابطه (۲)، برای  $p_e$  بدست می‌آوریم:

$$p_e = 673.2 \times 10^6 \text{ N/m}^2$$

حال با استفاده از مساحت تصویر سطح زیر سنبه بهعنوان  $A$ ، در رابطه  $F = p_e A$  نیرو بهصورت زیر محاسبه می‌گردد:

$$F = 1.14 \times 10^6 \text{ N}$$

شکل‌های (۳) تا (۷) نمایش داده شده است. مشخصات قطعه مورد استفاده در جدول (۱) ارائه شده است.

## ۵- حل تئوری

روش‌های گوناگونی جهت محاسبه و پیش‌بینی میدان سرعت و نیروی لازم در فرآیندهای شکل‌دهی مورد استفاده قرار می‌گیرد. یکی از این روش‌ها، روش Slab Method است. با استفاده از این روش می‌توان به سرعت و با دقت نسبتاً خوبی، نیروی لازم جهت اکستروژن را بدست آورد. براساس این روش، فشار لازم برای شکل دهی در اکستروژن توسط De Pierre بهصورت زیر بیان می‌شود [۱۰]:

$$p_e = p_d + \frac{4\tau_i L}{D} \quad (1)$$

که در آن،  $\tau_i$  = تنش برشی ماده،  $L$  = طول قطعه در محفظه قالب،  $D$  = قطر داخلی محفظه قالب و  $p_d$  توسط Avitzur توسط بهصورت عبارت زیر بیان شده است [۱۱]:

$$p_d = \frac{2\sigma_0}{\sqrt{3}} \left( \frac{\alpha}{\sin^2 \alpha} - \cot \alpha \right) + \sigma_0 [2f(\alpha) + mcot\alpha] \ln(r_0/r_f) + 2\sigma_0 m \left[ \frac{L_f}{r_0} - \left( 1 - \frac{r_f}{r_0} \right) \cot \alpha \right] \quad (2)$$

که در آن،  $\sigma_0$ ، تنش تسلیم ماده،  $\alpha$ ، نصف زاویه قالب،  $f(\alpha)$ ، تابعی پیچیده که بهصورت تقریبی می‌توان مقدار آن را یک در نظر گرفت.  $m$ ، فاکتور اصطکاک،  $r_0$ ، شعاع داخلی محفظه قالب،  $r_f$ ، شعاع قطعه اکسترود شده و  $L_f$ ، طول قسمت اکسترود شده است. برای بدست آوردن  $p_d$ ، ابتدا مقدار  $\sigma_0$  و  $m$  محاسبه گردید. دمای قطعه خام در کوره به  $1000^{\circ}\text{C}$  می‌رسد و سپس در قالب شکل می‌گیرد. دمای قطعه هنگام تغییر شکل  $1000^{\circ}\text{C}$  فرض شده است و با بدست آوردن نرخ کرنش از روی نمودار تنش-کرنش پلاستیک وابسته به دما، مقداری برای  $\sigma_0$  استخراج گردید. با توجه به حجم مواد موجود در قسمت مخروطی قالب رابطه زیر بدست می‌آید:

$$\dot{\varepsilon} = \frac{\varepsilon}{t} = \frac{6vD_0^2 \tan \alpha \ln R}{D_0^3 - D_f^3} \quad (3)$$

نقاط ابتدای نمودار (قسمت دسته)، تغییر نامحسوسی در دما وجود دارد که علت آن تأثیر کم انتقال حرارت هدایتی با قالب، روی این نقاط است. ولی در نقاط انتهای نمودار (قسمت کاسه)، که تغییر شکل بیشتر در آن منطقه رخ می‌دهد، افزایش دما بوجود آمده است. لازم به ذکر است در چند نقطه انتهایی نمودار به دلیل تماس با قالب و انتقال حرارت به آن، دمای نقاط نسبت به نقاط قبل کاهش داشته است. منحنی نیروی سنبه بر اساس جایه‌جایی آن، در شکل (۲۶) نشان می‌دهد که با افزایش سطح تماس مواد با سنبه، نیرو نیز افزایش می‌یابد.

وقتی که مواد بین سنبه و ماتریس رو به بالا حرکت می‌کنند، شبیه نمودار افزایش می‌یابد و در ۳ میلیمتر انتهای حرکت سنبه، که مواد قالب را پر می‌کنند، بیشترین نیرو لازم است. شکل (۲۷) و (۲۸) وضعیت تنش در ماتریس و سنبه را مشخص می‌کند. همانطور که مشخص است، در لبه‌های تیز که مواد روی قالب تغییر جهت حرکت می‌دهند، بیشترین تنش‌ها بوجود می‌آید. جهت مقایسه نتایج حل تئوری با شبیه‌سازی، از منحنی‌های مربوط به نیروی سنبه، مقادیر نیرو در دو مرحله اکستروژن استخراج شده است. از منحنی نیروی سنبه در اکستروژن مستقیم در شکل (۱۵)، مقدار ماکزیمم آن، در نظر گرفته می‌شود. روی منحنی نیروی سنبه در اکستروژن معکوس شکل (۲۶) مقدار ماکزیمم، مربوط به نیروی لازم جهت پر کردن قالب است و بنابراین مقدار مناسبی جهت مقایسه با نیروی بدست آمده از حل تئوری نیست. از این رو، محل صعود منحنی انتخاب شده است، همانطور که مشخص است نمودار در این منطقه تغییرات زیادی دارد. به‌منظور میانگین‌گیری از این تغییرات، روی بازه ۲۷/۵ تا ۴۲/۵ میلیمتر از جایه‌جایی سنبه، انتگرال‌گیری کرده و بر بازه انتگرال‌گیری، تقسیم می‌نماییم. مقایسه نتایج در جدول (۲) نشان می‌دهد، نتایج شبیه‌سازی همخوانی خوبی با نتایج حل تئوری دارد. حال با استفاده از نتایج بدست آمده می‌توان ادعا نمود که پلوس را توسط دو دست قالب و دو پرس ضربه‌ای، یکی با ظرفیت ton ۸۰۰ (ضریب اطمینان ۱/۵) و چهت مرحله اکستروژن مستقیم و دیگری با ظرفیت ton ۱۸۰ (ضریب اطمینان ۱/۵) برای مرحله اکستروژن معکوس، آهنگری کرد.

## ۸- نتیجه‌گیری

در این تحقیق، فرآیندهای آهنگری آهنگری پلوس شامل: اکستروژن مستقیم و معکوس داغ، به کمک روش اجزای محدود و توسط نرم افزار ABAQUS شبیه‌سازی شد و نتایج مورد بحث قرار گرفت. نتایج عددی حاصل از این تحلیل با تحلیل تئوری مقایسه گردید

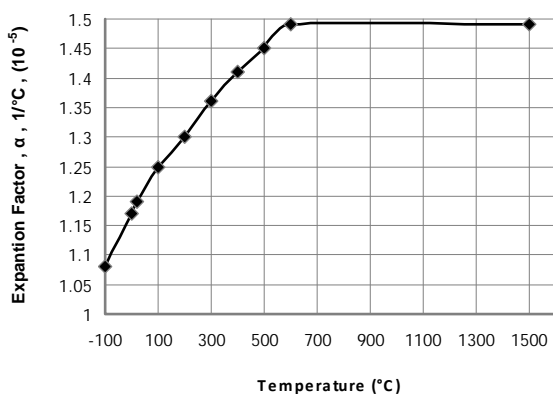
## ۶- شبیه‌سازی اجزای محدود فرآیند

کلیه مراحلی که در بند مراحل آهنگری توصیف شد، همراه با خواص و شرایط دمایی اولیه، مربوط به قطعه و قالب، و انتقال حرارت از قطعه به هوا و قالب‌ها در نرم‌افزار ABAQUS تعریف گردید (شکل‌های ۱۰ و ۱۱). قطعه‌ای که در شکل (۱۱) به عنوان قطعه پیش فرم مشخص شده، قطعه بدست آمده در اکستروژن مستقیم است و قطعه نگهدارنده جهت جلوگیری از افزایش طول دسته در اکستروژن معکوس تعییه شده است. به‌منظور حل مشکل، اعوجاج المان‌ها در طول فرآیندهای شکل دهی، از الگوی بهینه سازی ALE در نرم‌افزار استفاده شد. تحلیل در زمان کلی حدوداً ۳ ساعت، توسط یک کامپیوتر Quad CPU با سرعت ۲/۷ گیگاهرتز انجام گرفت.

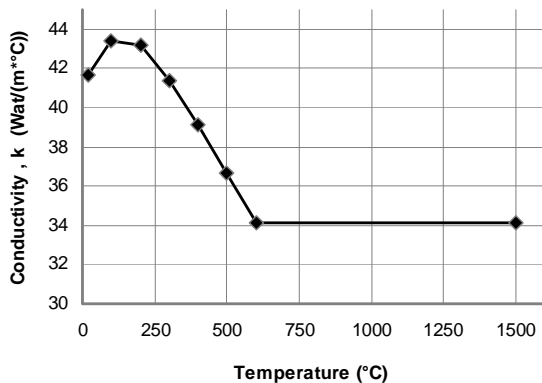
## ۷- نتایج و بحث

مراحل شکل‌گیری قطعه در اکستروژن مستقیم در شکل (۱۲) ارائه شده است. دمای قطعه خام اولیه در لحظه فرودآمدن سنبه و در انتهای اکستروژن مستقیم در شکل‌های (۱۳) و (۱۴) نمایش داده شده است. دما در سطح قطعه، به دلیل اصطکاک، و انرژی حاصل از تغییر شکل، افزایش داشته است. منحنی نیروی سنبه در اکستروژن مستقیم براساس جایه‌جایی سنبه در شکل (۱۵) نشان داده شده است. الگوی تنش در شکل (۱۶) نشان می‌دهد در جایی که افت دمای بیشتر و کاهش سطح مقطع وجود دارد، تنش بیشتر است. همانطور که در شکل (۱۷) مشخص است، موادی که در بالای قطعه، کرنش پلاستیک کمتری داشته است، موادی که در گرفته‌اند، بیشترین کرنش پلاستیک را دارند. در شکل (۱۸) وضعیت بردار سرعت در انتهای اکستروژن مستقیم بیان می‌نماید که در قسمت انتهای دسته سرعت مواد به‌علت کاهش سطح مقطع بیشتر از بقیه نقاط است. شکل‌های (۱۹) و (۲۰) وضعیت تنش و دما را در ماتریس و شکل (۲۱) تنش در سنبه را مشخص می‌نماید. مراحل شکل‌گیری قطعه در اکستروژن معکوس در شکل (۲۲) نشان داده شده است.

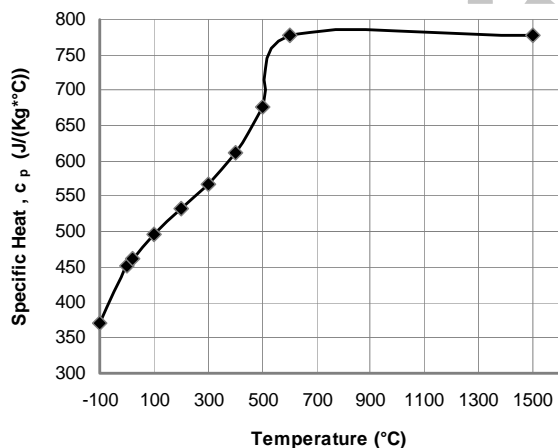
دمای قطعه در لحظه فرودآمدن سنبه و در انتهای فرآیند اکستروژن معکوس در شکل‌های (۲۳) و (۲۴) نشان می‌دهند که قطعه در قسمتی که تغییر شکل زیادی ندارد، بیشترین کاهش دما را در سطح داشته است و در منطقه زیر سنبه به‌علت تغییر شکل زیاد وجود اصطکاک، افزایش دما اتفاق افتاده است. نمودار دمای نقاط روی محور تقارن قطعه، از پایین قطعه به بالای آن، در ابتدا و انتهای اکستروژن معکوس، در شکل (۲۵) نشان می‌دهد که در



شکل (۴): ضریب انبساط گرمایی بر حسب تغییرات دما برای CK45 [۱۲]



شکل (۵): وابستگی ضریب رسانایی گرما به دما [۱۲]



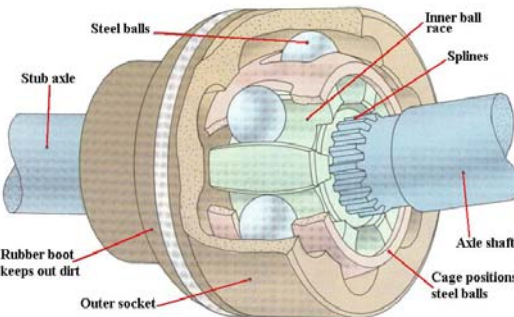
شکل (۶): تغییرات گرمای وزیر بر حسب دما [۱۲]

جدول (۱): مشخصات فولاد مورد استفاده [۱۳]

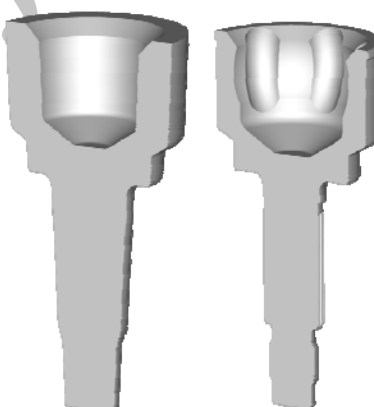
مشخصات قطعه خام	
CK45 یا DIN 1.1191	جنس
۷۸۶۰ Kg/m³	چگالی
۰/۳	ضریب پواسون
۶۰ mm	قطر قطعه
۷۲/۷ mm	طول قطعه

که با یکدیگر سازگاری خوبی داشتند. بنابراین می‌توان مراحل در نظر گرفته شده جهت تولید پلوس را شبیه‌سازی کرده و پس از تحلیل آنها توسط روش اجزای محدود، قالب‌ها و حتی مراحل را بهینه‌سازی نمود و پس از آن با استفاده از نیروهای بدست آمده و مراحل طراحی شده تجهیزات مورد نیاز را پیشنهاد داد.

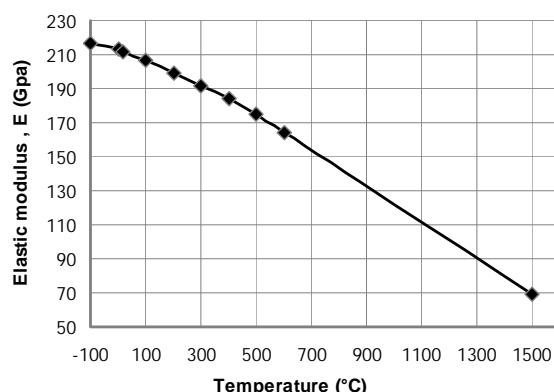
#### ۹- شکل‌ها و جدول‌ها



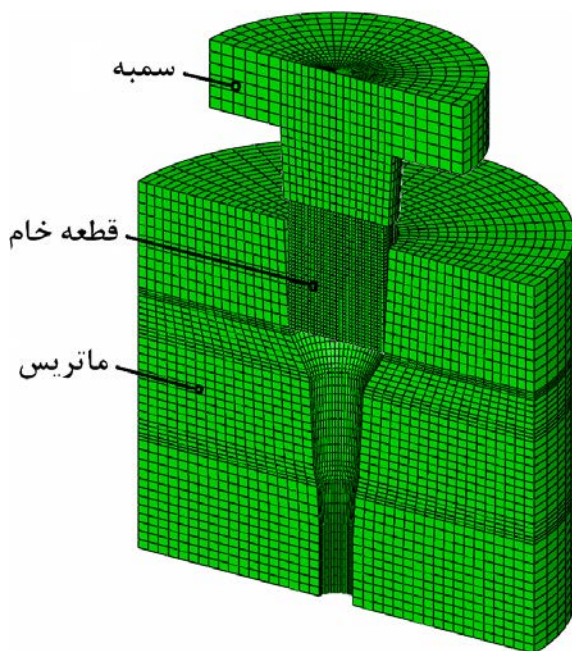
شکل (۱): قطعات مجموعه پلوس (C.V. Joint)



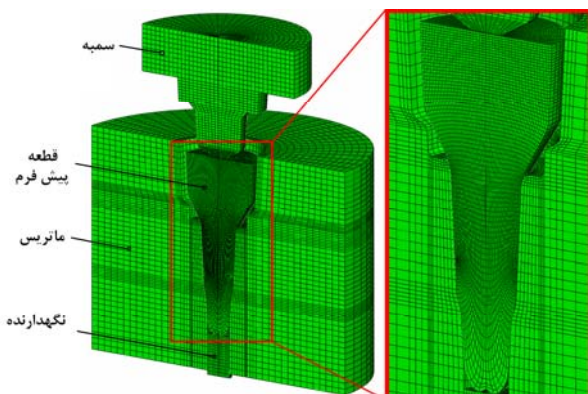
شکل (۲): مدل هندسی قطعه آهنگری شده و قطعه ماشینکاری نهایی



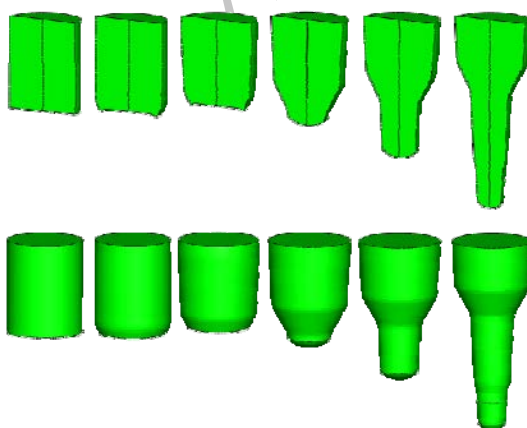
شکل (۳): تغییرات مدول کشسانی CK45 بر حسب دما [۱۳]



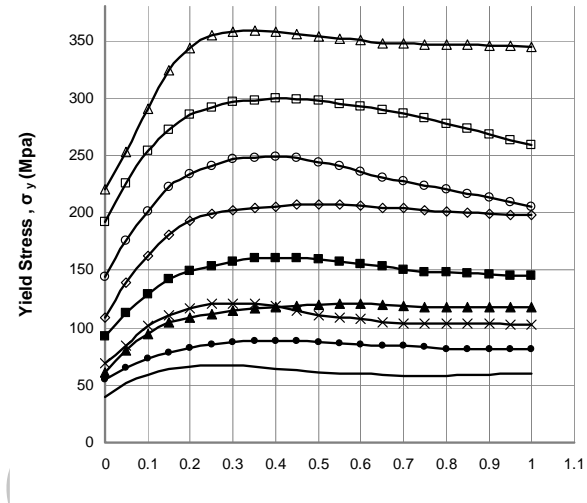
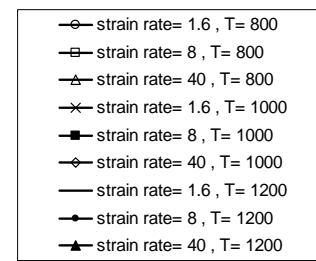
شکل (۱۰): مدل اجزای محدود قطعه و قالب اکستروژن مستقیم مدل شده به  
وسیله نرم‌افزار ABAQUS



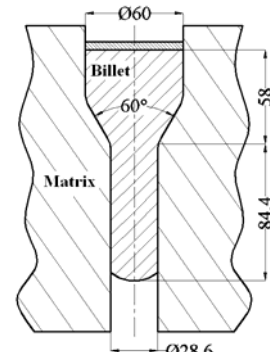
شکل (۱۱): مدل اجزای محدود قطعه و قالب اکستروژن معکوس در نرم‌افزار  
ABAQUS



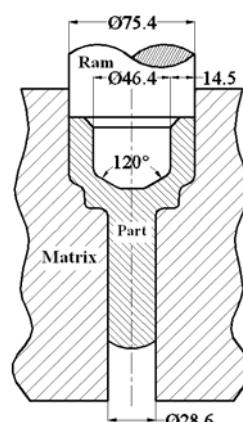
شکل (۱۲): مراحل شکل‌گیری قطعه در اکستروژن مستقیم



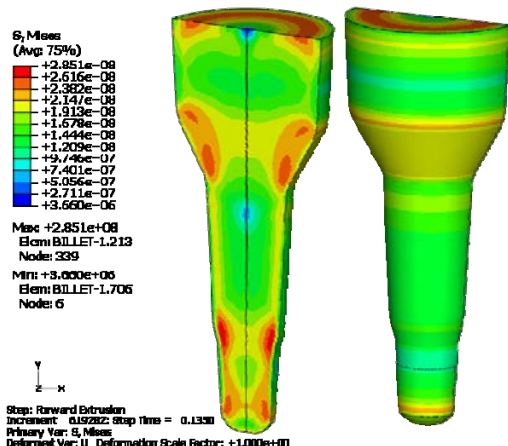
شکل (۷): نمودارهای تنش-کرنش پلاستیک بر اساس دما و نرخ کرنش [۱۳]



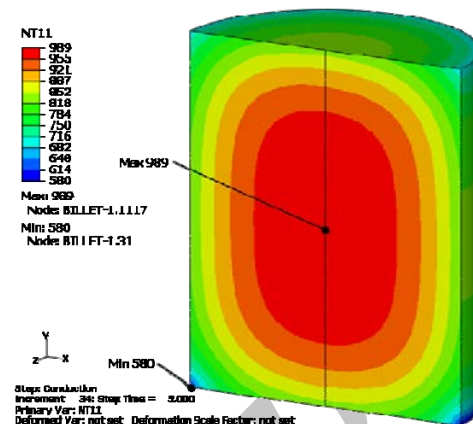
شکل (۸): طرح شماتیک قطعه در انتهای اکستروژن مستقیم



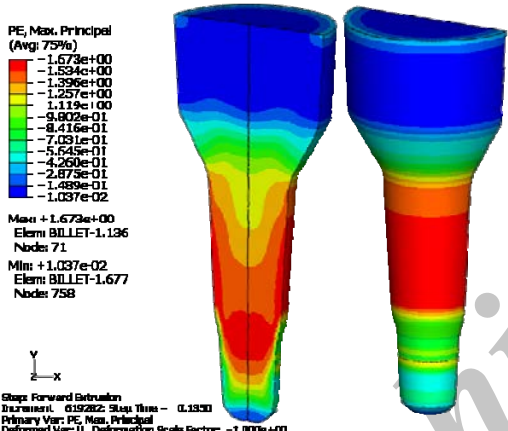
شکل (۹): طرح شماتیک قطعه در انتهای اکستروژن معکوس



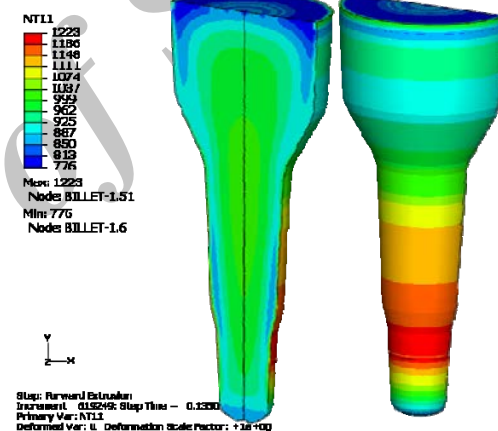
شکل (۱۶): الگوی تنش در قطعه در انتهای اکستروژن مستقیم



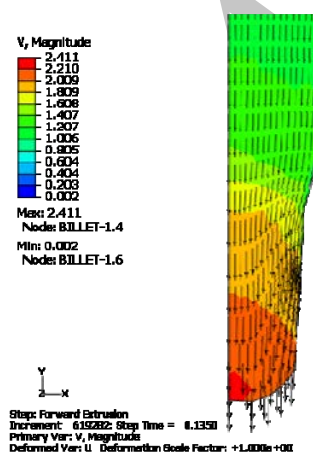
شکل (۱۳): دمای قطعه خام قبل از فرود آمدن سنبه در اکستروژن مستقیم



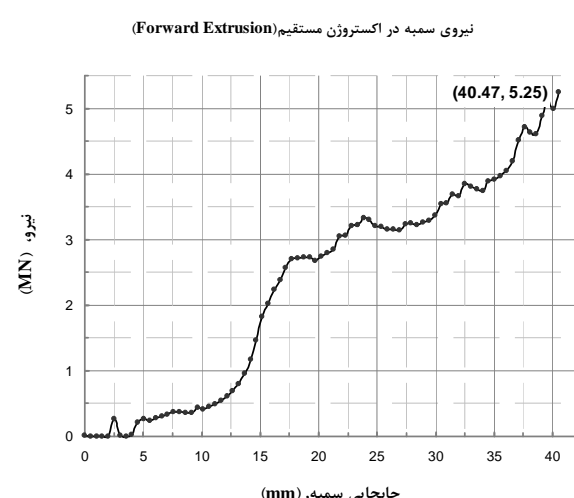
شکل (۱۷): الگوی کرنش پلاستیک در قطعه در انتهای اکستروژن مستقیم



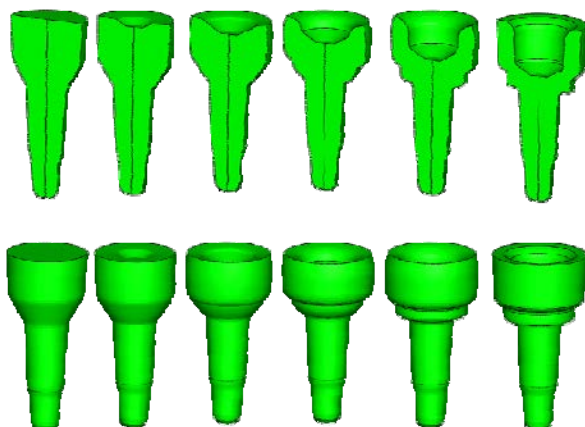
شکل (۱۴): دمای قطعه در انتهای اکستروژن مستقیم



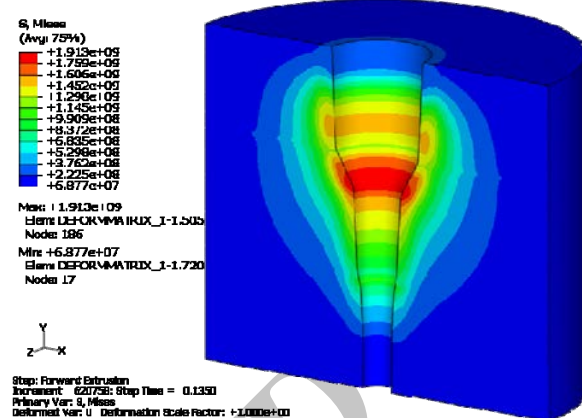
شکل (۱۸): وضعیت بردار سرعت در قطعه در انتهای اکستروژن مستقیم



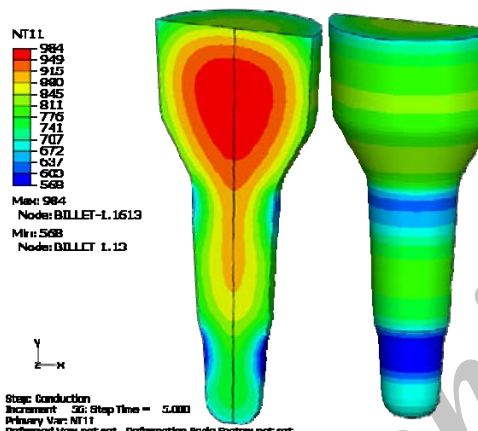
شکل (۱۵): منحنی نیروی سنبه بر اساس جابجایی در اکستروژن مستقیم



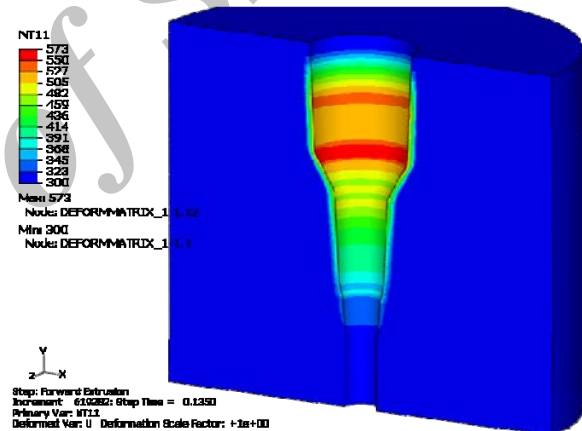
شکل (۲۲): مراحل شکل‌گیری قطعه در اکستروژن معکوس



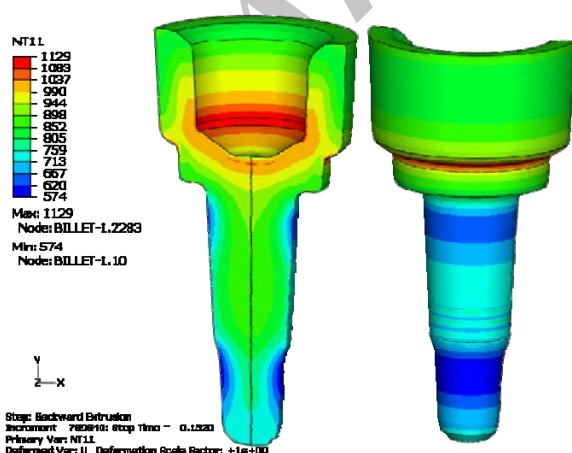
شکل (۱۹): الگوی تنش در ماتریس در انتهای اکستروژن مستقیم



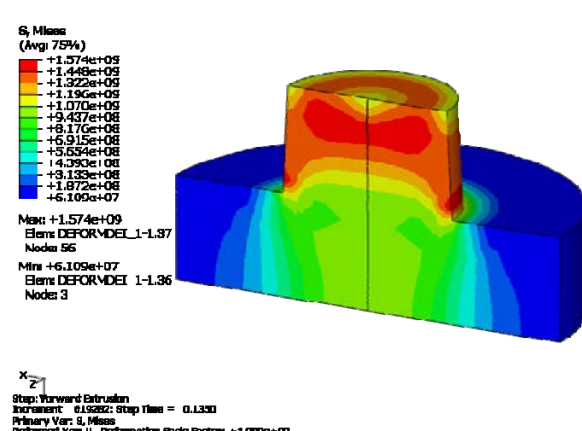
شکل (۲۳): دمای قطعه قبل از فرود آمدن سنبه در اکستروژن معکوس



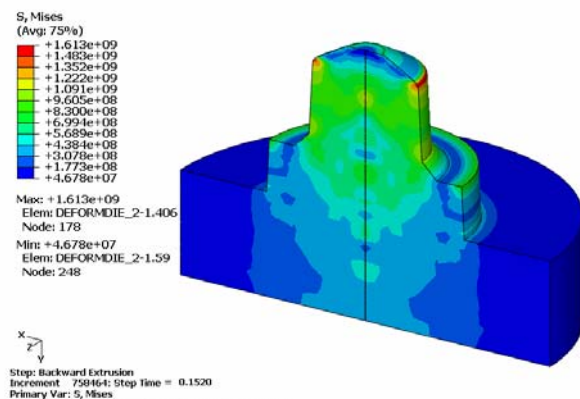
شکل (۲۰): الگوی دمای ماتریس در انتهای اکستروژن مستقیم



شکل (۲۴): دمای قطعه در انتهای اکستروژن معکوس

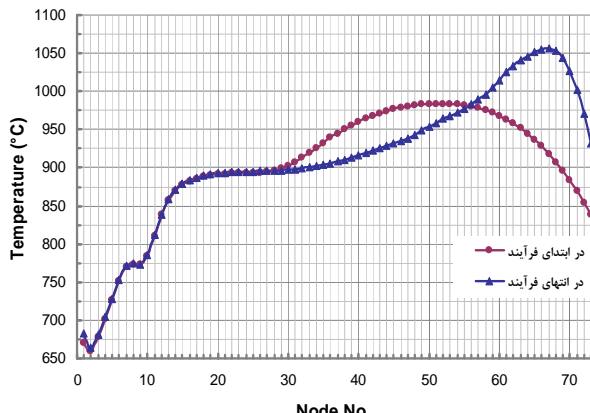


شکل (۲۱): الگوی تنش در سنبه در انتهای اکستروژن مستقیم



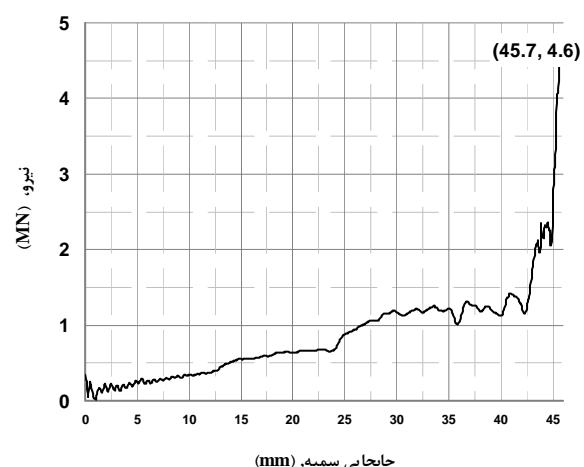
شکل (۲۴): الگوی تنش در سنبه در انتهای اکستروژن معکوس

دماه محور تقارن قطعه در ابتدا و انتهای فرآیند اکستروژن معکوس

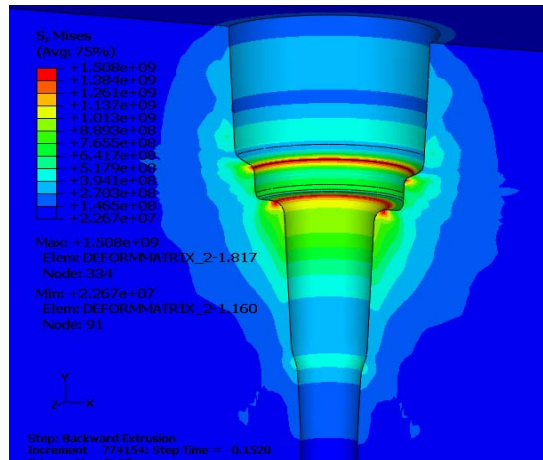


شکل (۲۵): دماه نقاط روی تقارن قطعه، از پایین قطعه به بالا

آن، در ابتدا و انتهای اکستروژن معکوس  
نیروی سنبه در اکستروژن معکوس(Backward Extrusion)



شکل (۲۶): منحنی نیروی سننه بر اساس جابجایی در اکستروژن معکوس



شکل (۲۷): الگوی تنش در ماتریس در انتهای اکستروژن معکوس

[1] Sun, C., Li, S., and Wang, B., "Analysis of The Ironing of a Bj-Type Constant Velocity Joint Outer Race with the Upper Bound Element Method", Journal of Materials Processing Technology, Vol. 100, Issues 1-3, 2000, pp. 209-213.

[2] Park, K. S., Kim, B. J., and Moon, Y. H., "Development of a Ball Groove Measuring System for Forged Outer Race Constant Velocity (CV) joints", Journal of Materials Processing Technology, Vol. 191, Issues 1-3, 2007, pp. 145-148.

لوح موسوی، م.، بخشی، م.، " شبیه‌سازی حجم محدود سه بعدی و تحلیل تجربی اکستروژن داغ فولاد" ، مجموعه مقالات دوازدهمین کنفرانس بین‌المللی مهندسی مکانیک، دانشگاه تربیت مدرس، صفحه ۳۲۱-۳۳۱، ۱۳۸۱

[4] Park, K. S., VanTyne, C. J., and Moon, Y. H., "Process Analysis of Multistage Forging by Using Finite Element Method", Journal of Materials Processing Technology, Vol. 187-188, 2007, pp. 586-590.

[5] Lee, J. H., Kang, B. S., and Lee, J. H., "Process Design in Multi-Stage Cold Forging by the Finite-Element Method", Journal of Materials Processing Technology, Vol. 58, Issues 2-3, 1996, pp. 174-183.

- [10] DePierre, V., Trans. ASME, J. Lubr. Technol., Vol. 92, 1970, pp. 398-405.
- [11] Avitzur, B., Trans. ASME, Sec. B: J. Eng. Ind., Vol. 85, 1963, pp. 89-96, Vol. 86, 1964, pp. 305-316.
- [12] لوح‌موسی، م.، بخشی، م.، و حجتی، م. ح.، "شیوه‌سازی اجزای محدود و تحلیل تجربی اکستروژن سرد آلومینیوم"، مجموعه مقالات دهمین کنفرانس مهندسی مکانیک، دانشگاه خواجه نصیر الدین طوسی، صفحه ۹۱۵-۹۲۱، ۱۳۸۱.
- [6] Bakhshi-Jooybari, M., et al, "Finite Element Simulation and Experimental Study of Hot Closed-Die Upsetting", Int. J. of Machin Tools and Manufacture, Vol. 36, No. 9, 1996, pp. 1021-1032.
- [7] Rowe, G. W., et al, "Finite Element Plasticity and Metal Forming Analysis", Cambridge University Press, Cambridge, U.K., 1991.
- [8] Barrau, O., Boher, C., Vergne, C., Rezai-Aria, F., and Gras, R., "Investigations of Friction and Wear Mechanisms of Hot Forging Tool Steels", Karlstad University, Vol. 1, 2002, ISBN 91-89422-81-3, pp. 81-94.
- [۹] ولی‌زاده، ع.، "طراحی و ساخت قالب و قیود"، چاپ پنجم، صفحه ۶۴، ۱۳۸۱.
- [13] MSC/Superforge Software Version 2002, Materials library.